

Fig. 1

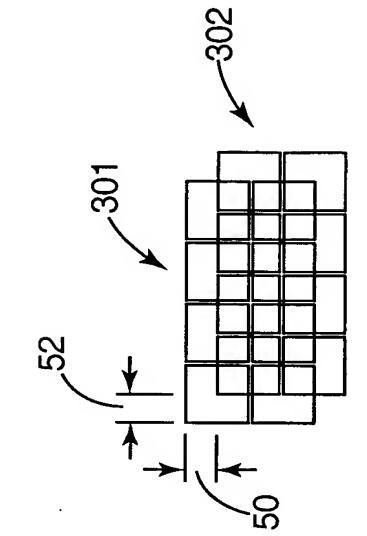


Fig. 2C

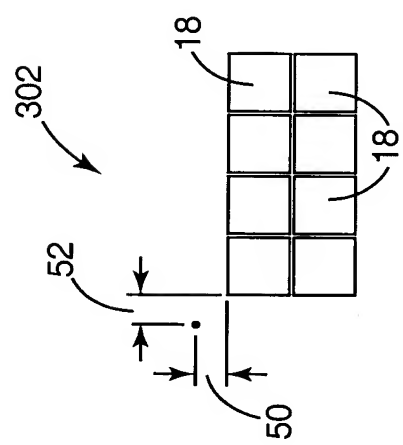


Fig. 2B

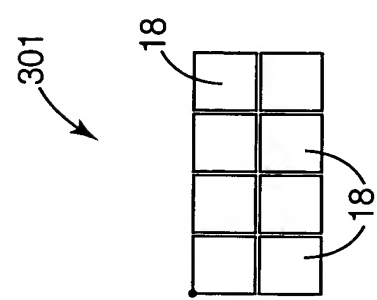


Fig. 2A

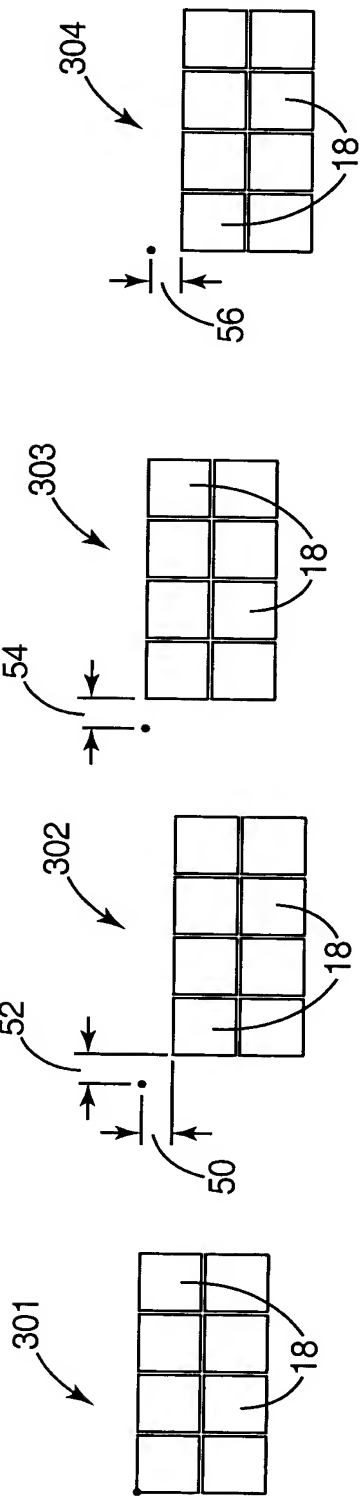


Fig. 3A

Fig. 3B

Fig. 3C

SHEET 3 OF 20

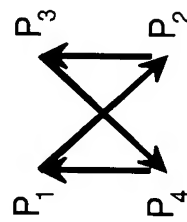


Fig. 3D

Fig. 3E

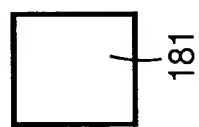
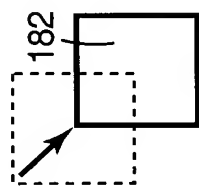
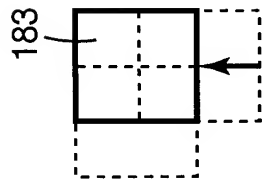
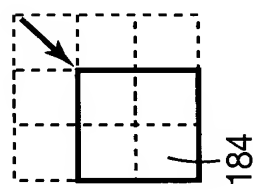
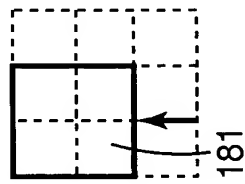


Fig. 4E

Fig. 4D

Fig. 4C

Fig. 4B

Fig. 4A

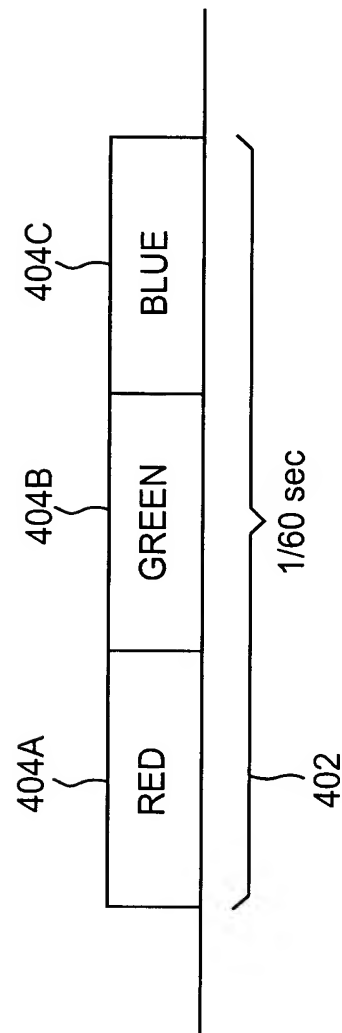


Fig. 5

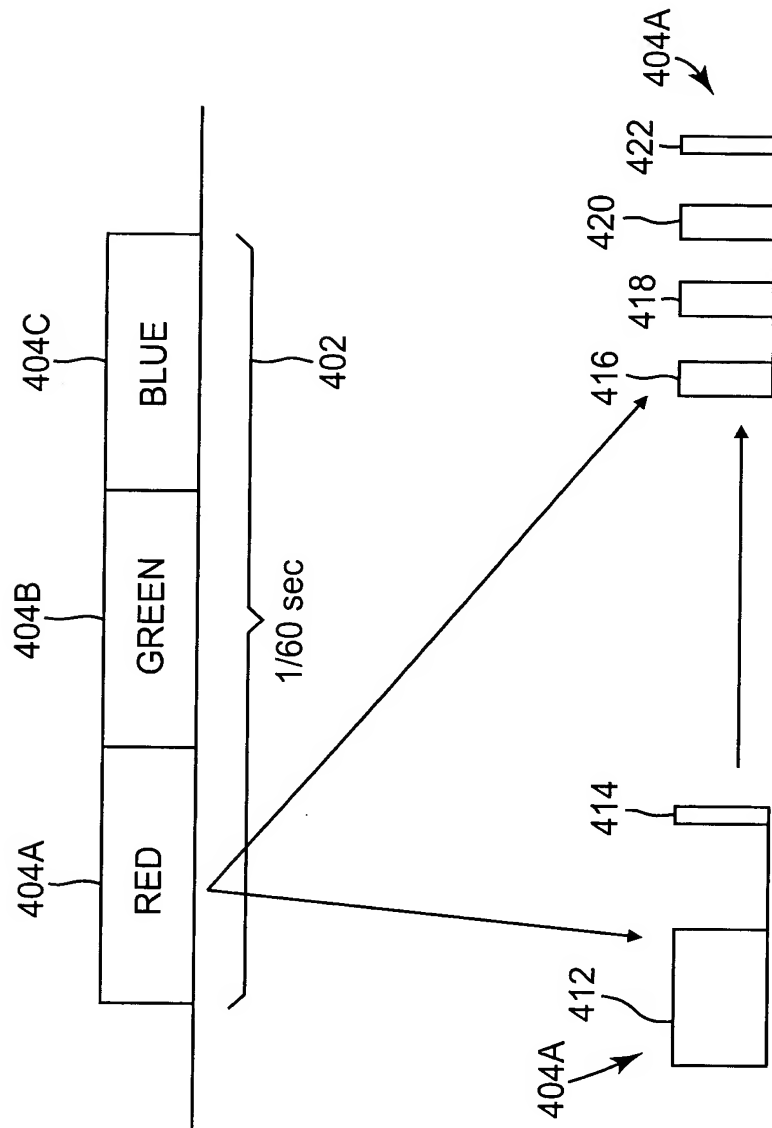


Fig. 6

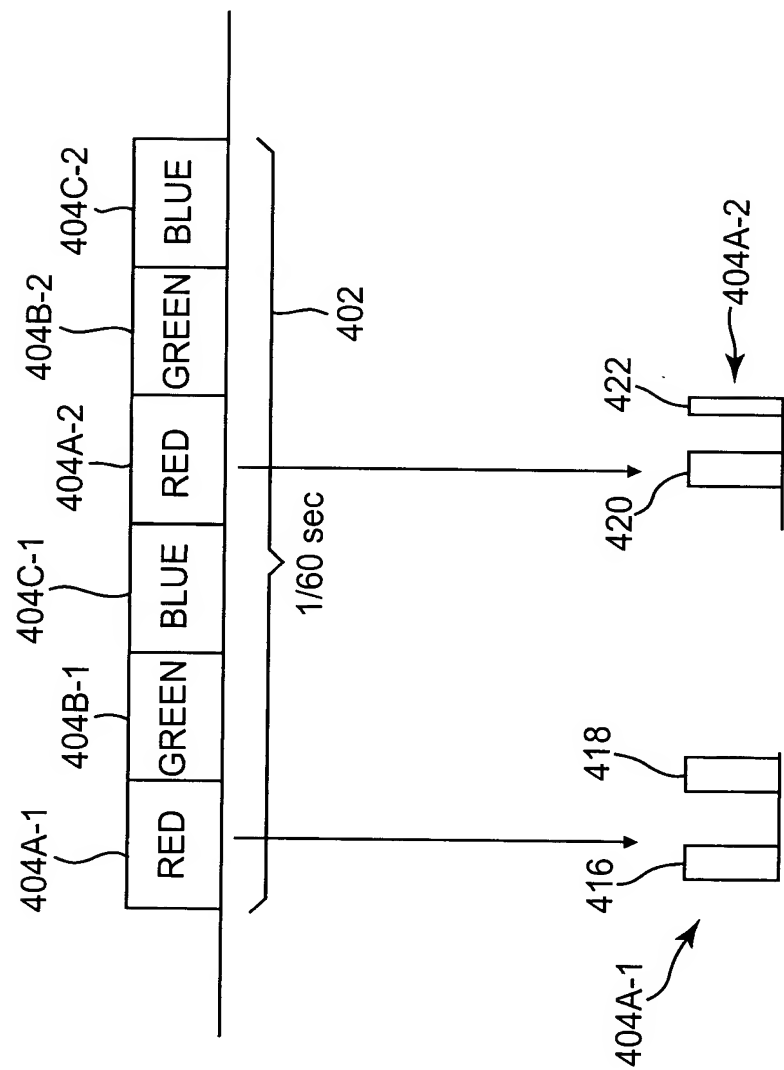


Fig. 7

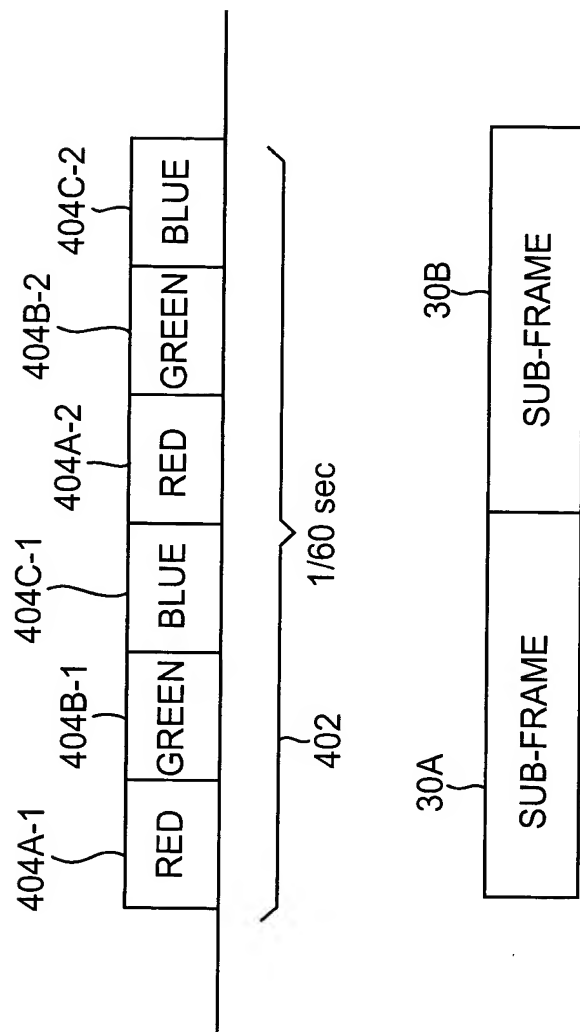


Fig. 8

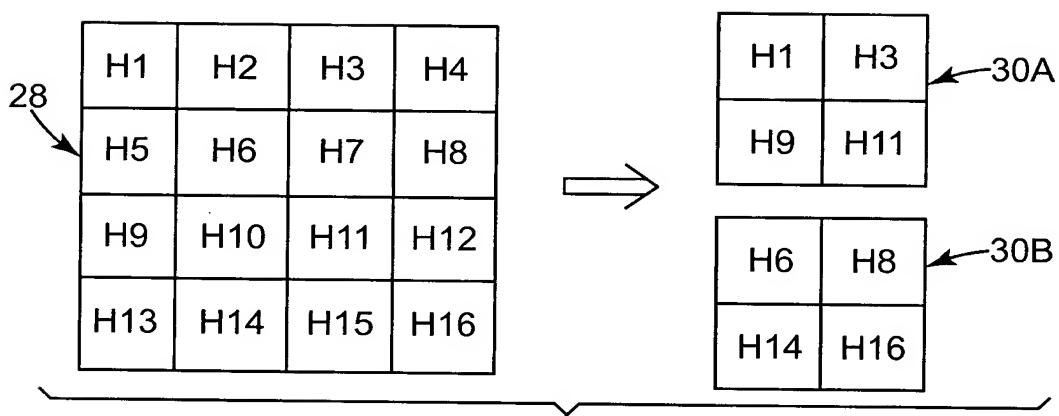


Fig. 9
(NEAREST NEIGHBOR)

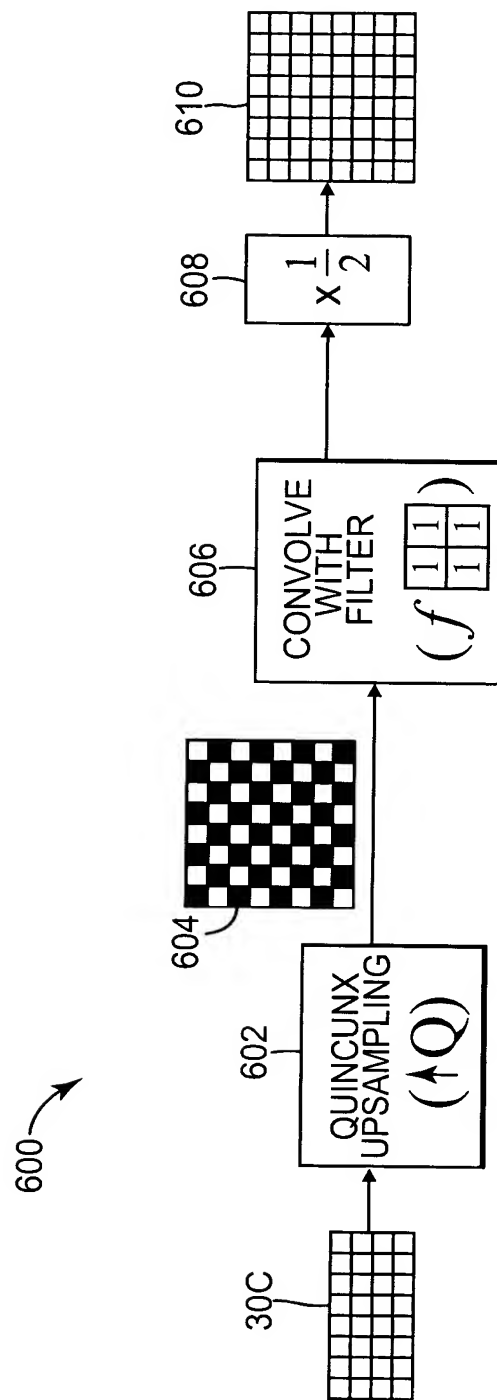


Fig. 10

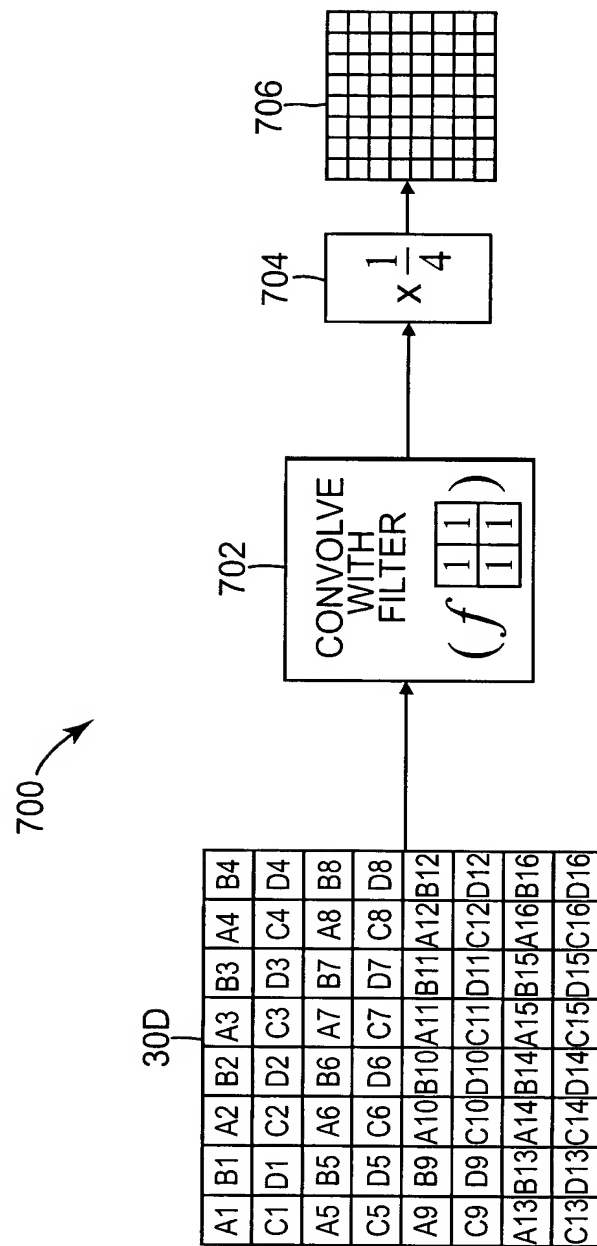


Fig. 11

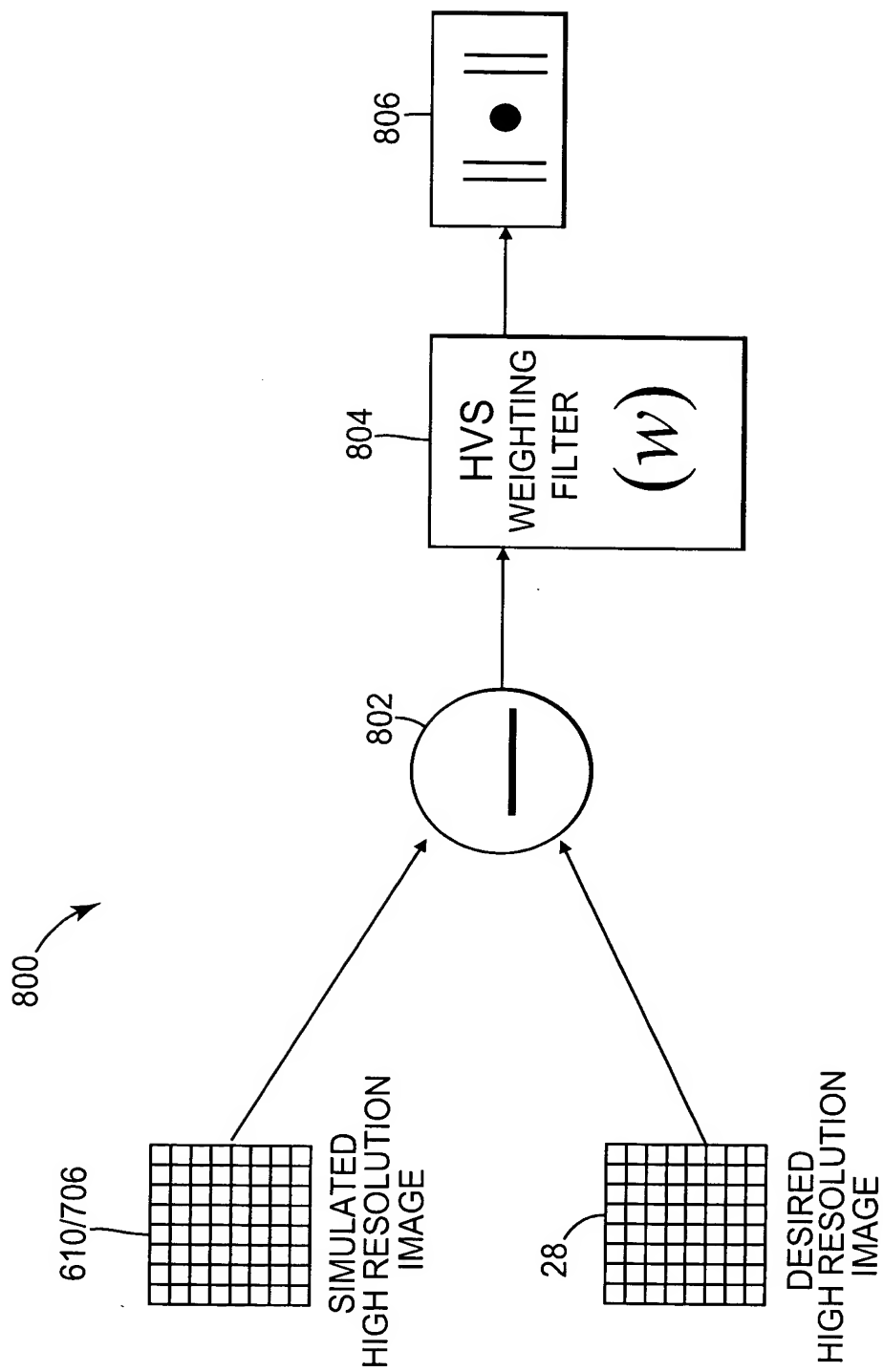


Fig. 12

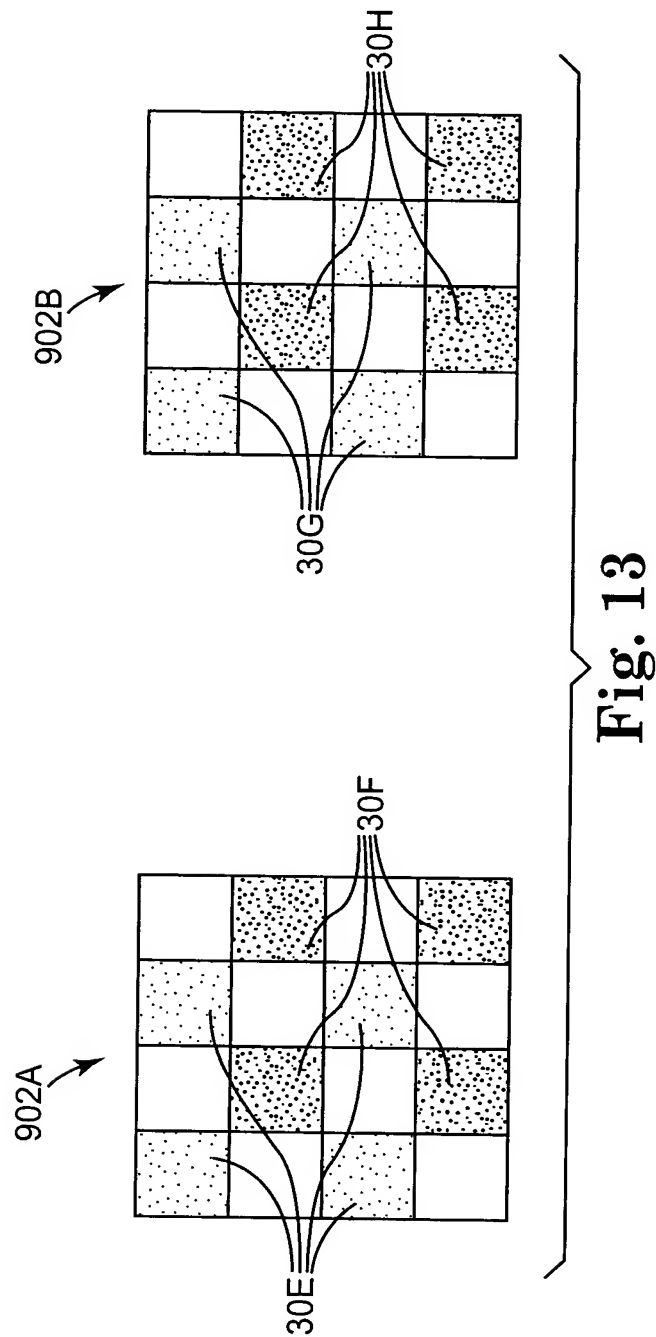


Fig. 13

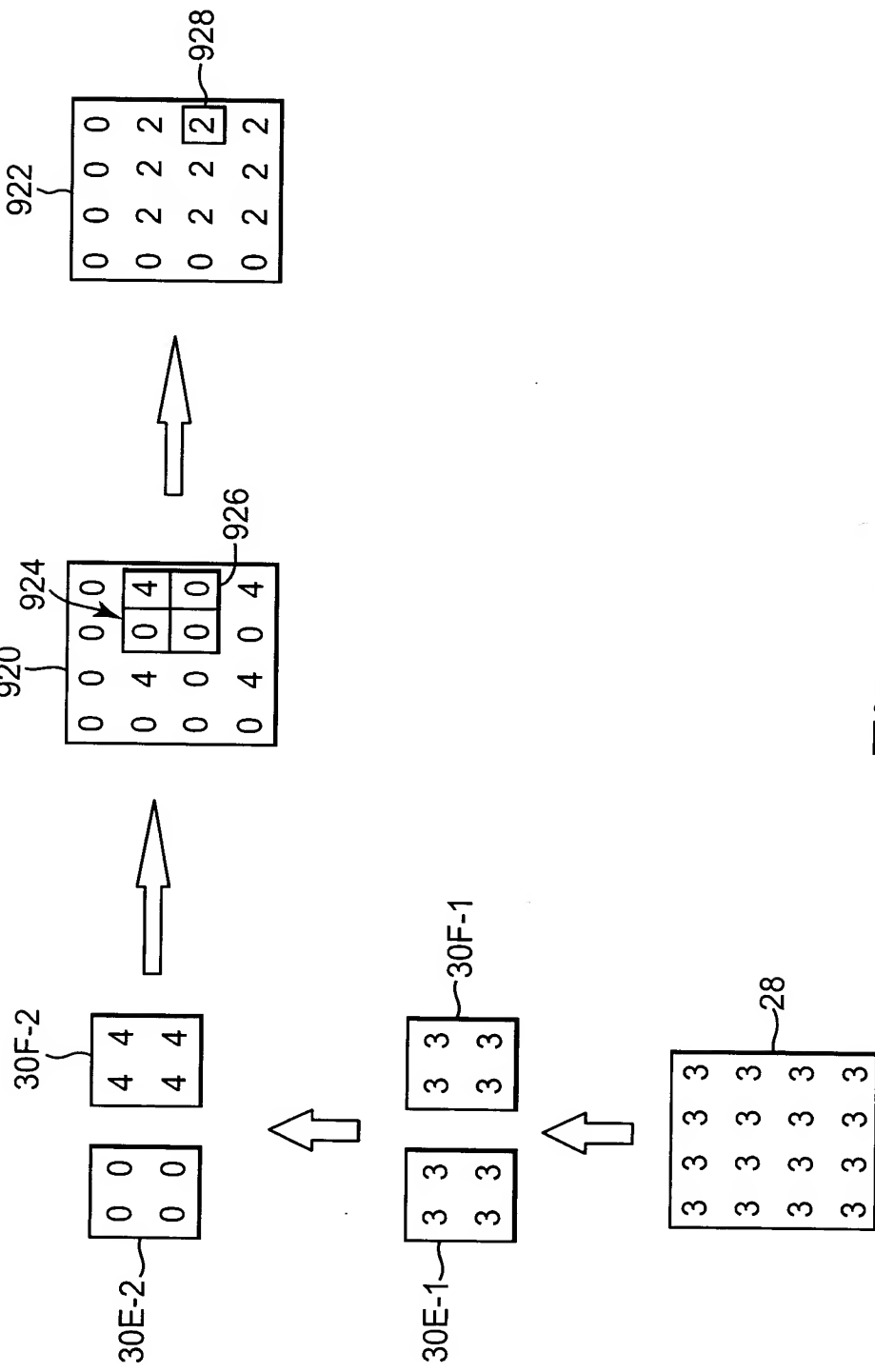


Fig. 14

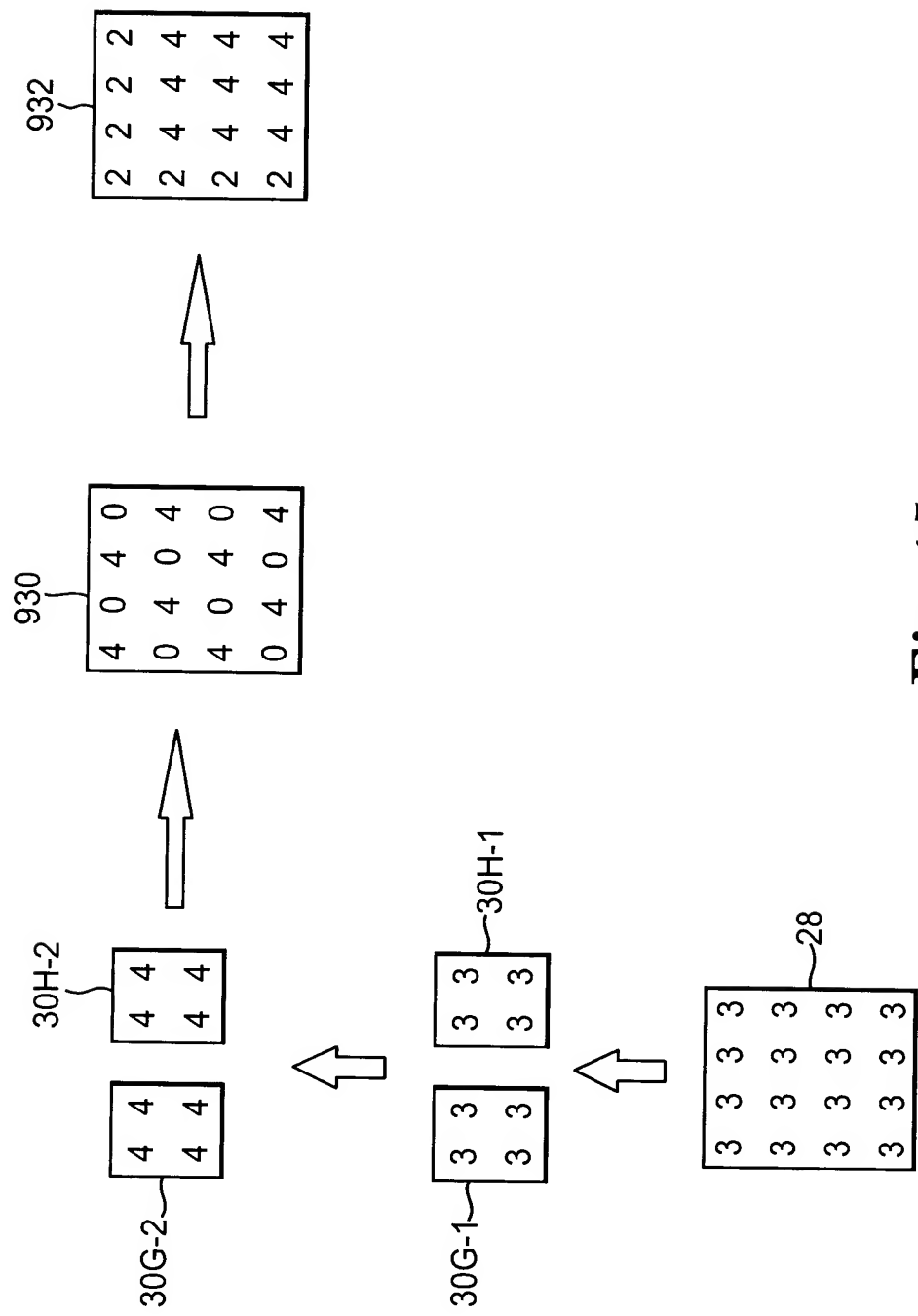


Fig. 15

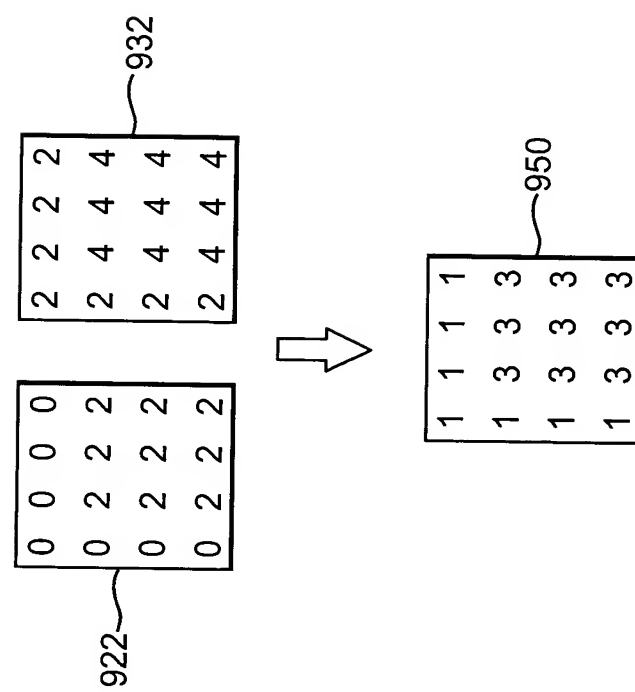


Fig. 16

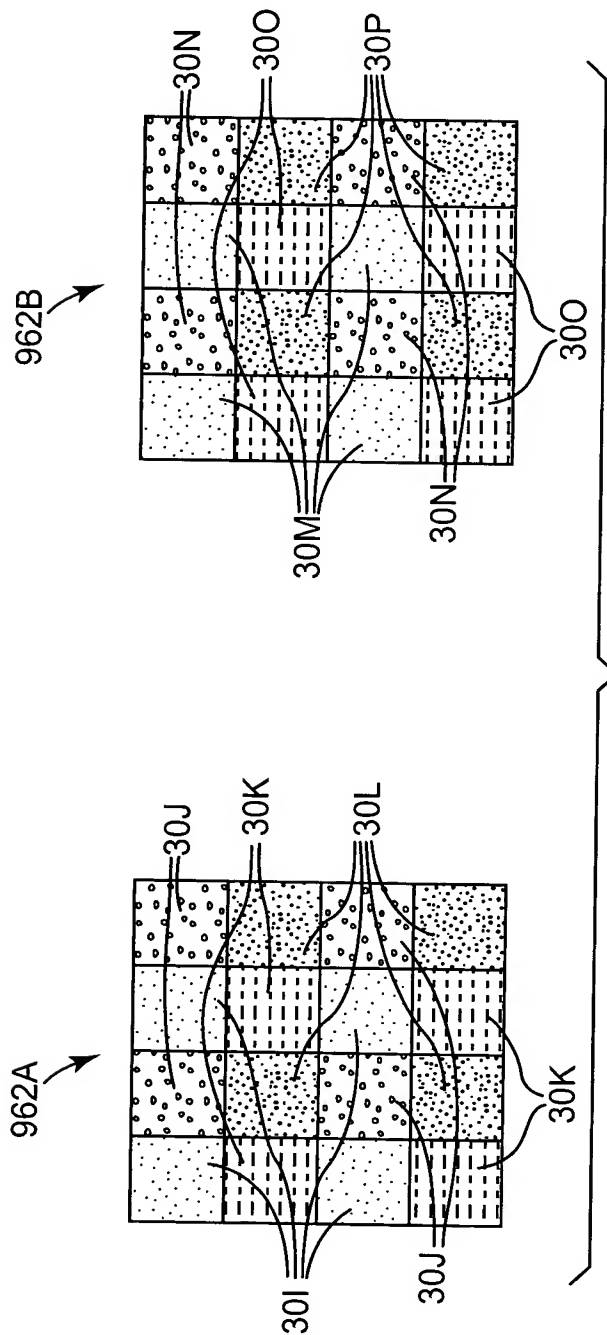


Fig. 17

APPLICANT: NIRANJAN DAMERA-VENKATA ET AL.

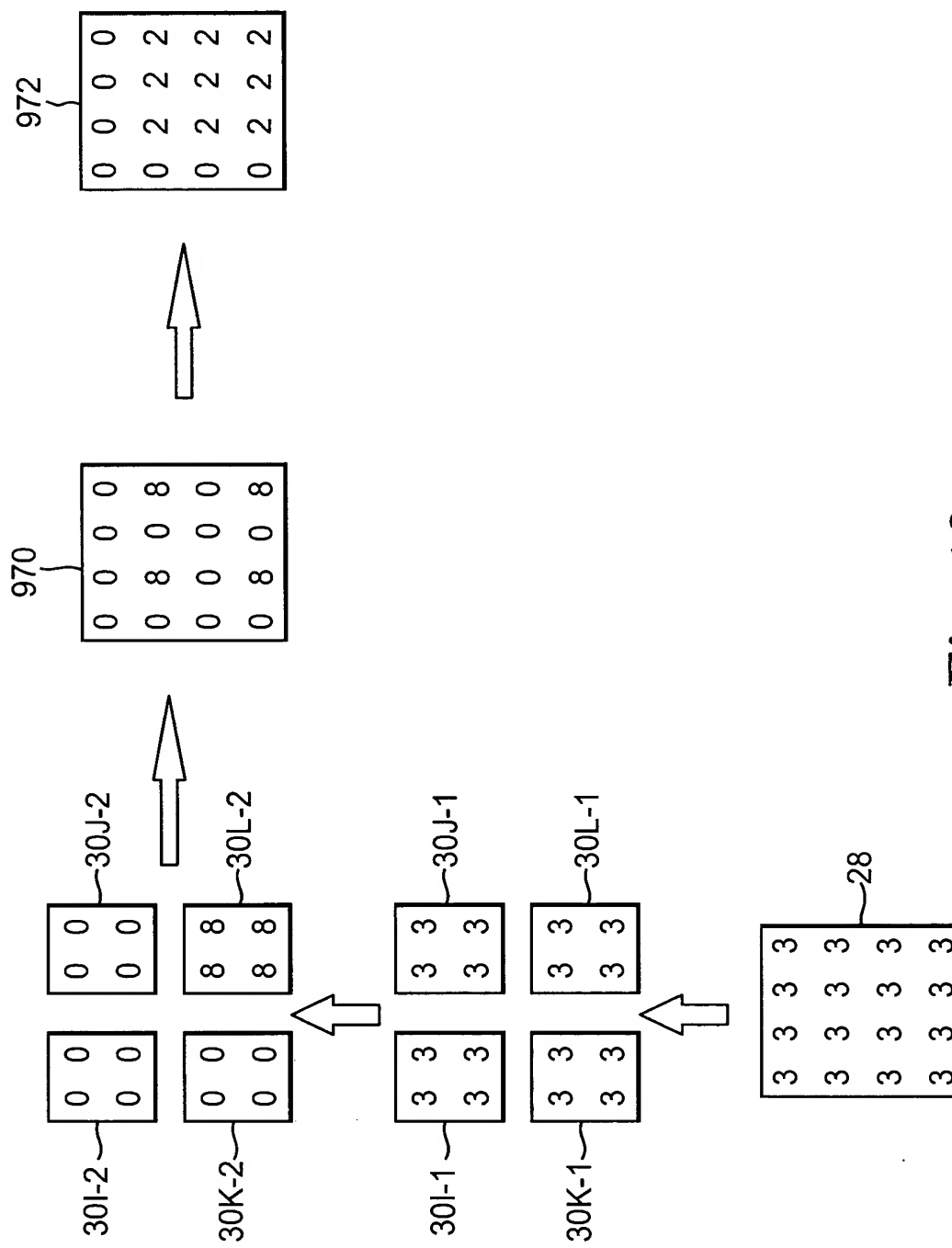


Fig. 18

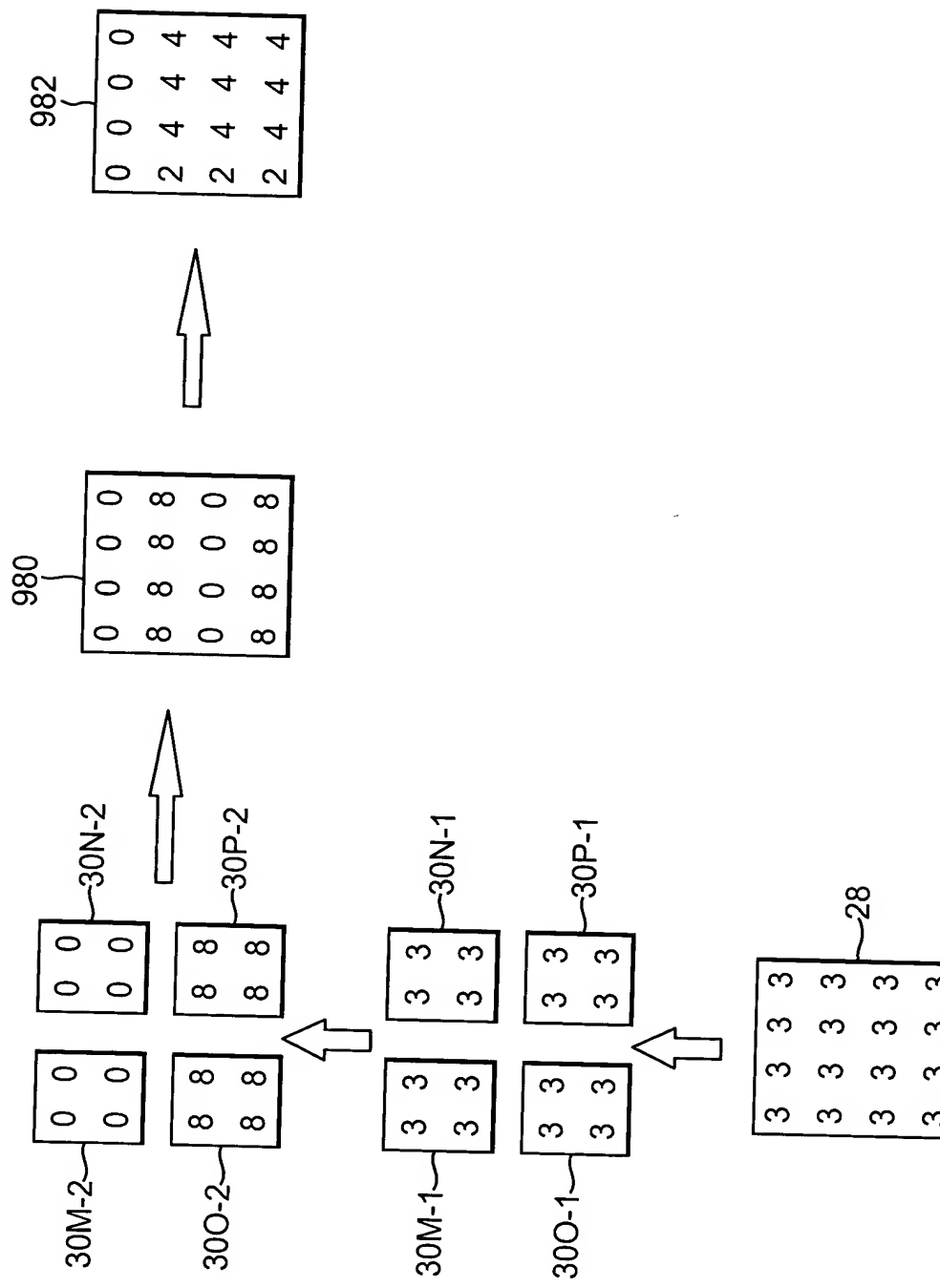


Fig. 19

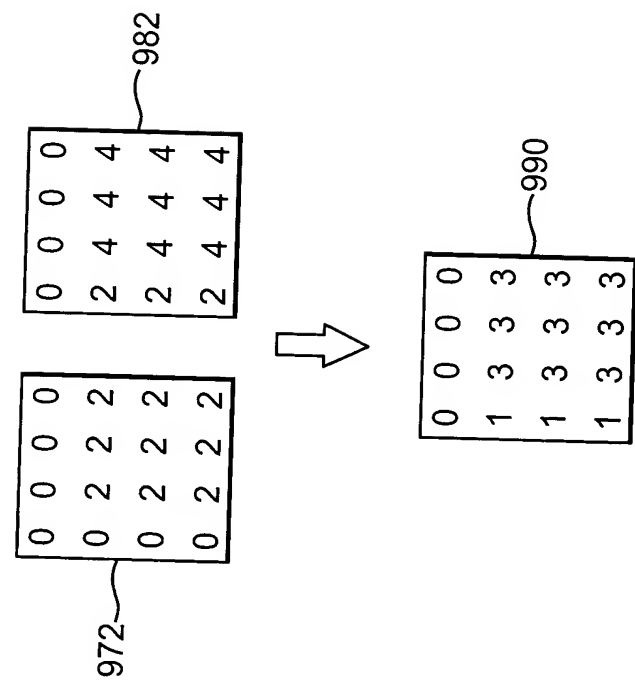


Fig. 20